

Giornate di Algebra Lineare Numerica e Applicazioni

ELABORAZIONE DIGITALE DI IMMAGINI A COLORI

Ivan Gerace, Francesca Martinelli e Alfredo Milani

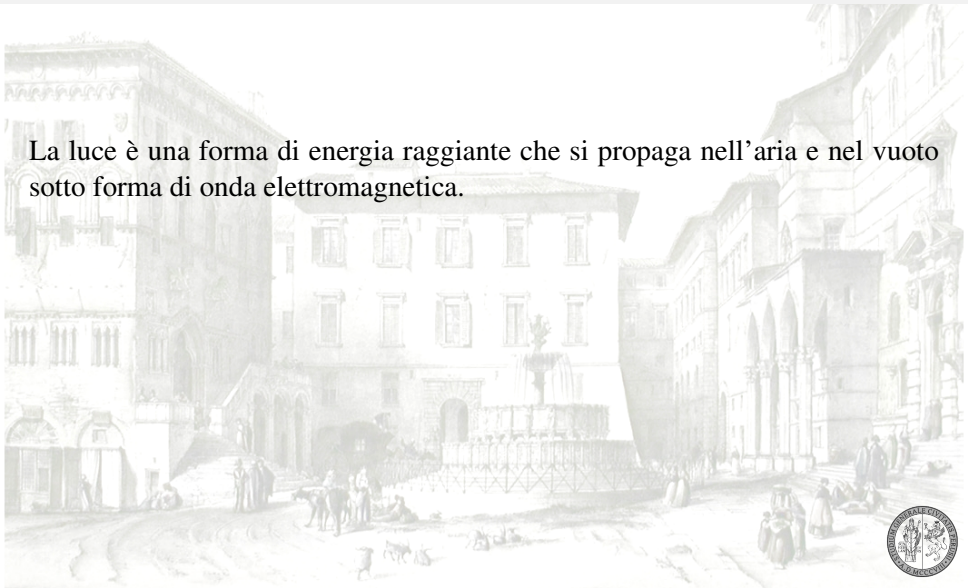
Perugia, 17 febbraio 2009

Dipartimento di Matematica e Informatica
Università degli Studi di Perugia



LA LUCE

La luce è una forma di energia radiante che si propaga nell'aria e nel vuoto sotto forma di onda elettromagnetica.



LA LUCE

La luce è una forma di energia raggiante che si propaga nell'aria e nel vuoto sotto forma di onda elettromagnetica.

Esistono diversi tipi di onde elettromagnetiche (onde radio, raggi infrarossi, ultravioletti, ecc...) ma la luce si diversifica da queste per il fatto di essere percepita dall'occhio umano.

Ma cosa c'è di fisicamente diverso tra le radiazioni visibili e tutte le altre?



LA LUCE

La luce è una forma di energia raggiante che si propaga nell'aria e nel vuoto sotto forma di onda elettromagnetica.

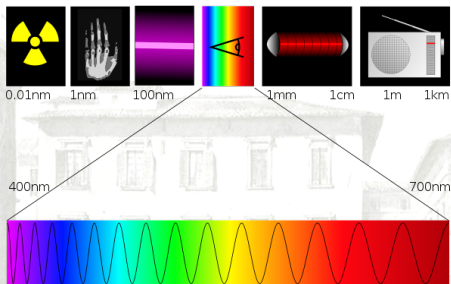
Esistono diversi tipi di onde elettromagnetiche (onde radio, raggi infrarossi, ultravioletti, ecc...) ma la luce si diversifica da queste per il fatto di essere percepita dall'occhio umano.

Ma cosa c'è di fisicamente diverso tra le radiazioni visibili e tutte le altre?

La **lunghezza d'onda**.



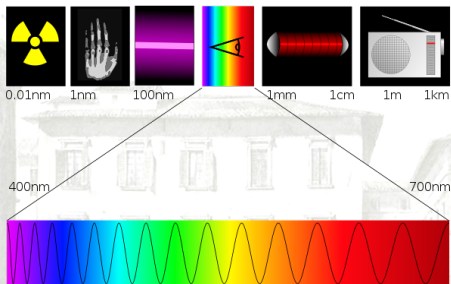
I COLORI



L'occhio umano è sensibile ad una porzione assai piccola dell'intero spettro delle onde elettromagnetiche (tra i 380 e i 760 nm).



I COLORI



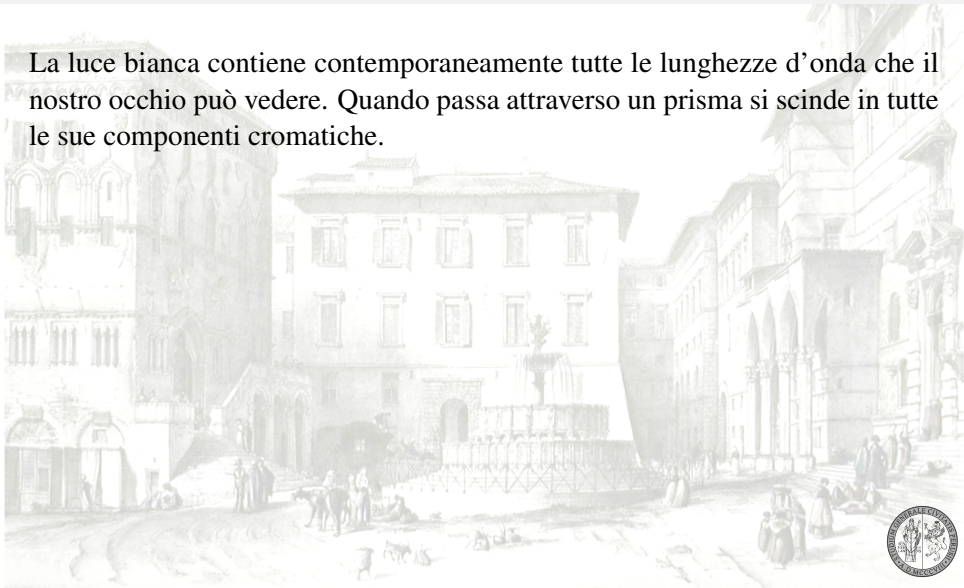
L'occhio umano è sensibile ad una porzione assai piccola dell'intero spettro delle onde elettromagnetiche (tra i 380 e i 760 nm).

Quando ci si limita a tale regione, ogni variazione di lunghezza d'onda al nostro occhio appare come una variazione di **colore**.



LA RIFRAZIONE

La luce bianca contiene contemporaneamente tutte le lunghezze d'onda che il nostro occhio può vedere. Quando passa attraverso un prisma si scinde in tutte le sue componenti cromatiche.



LA RIFRAZIONE

La luce bianca contiene contemporaneamente tutte le lunghezze d'onda che il nostro occhio può vedere. Quando passa attraverso un prisma si scinde in tutte le sue componenti cromatiche.

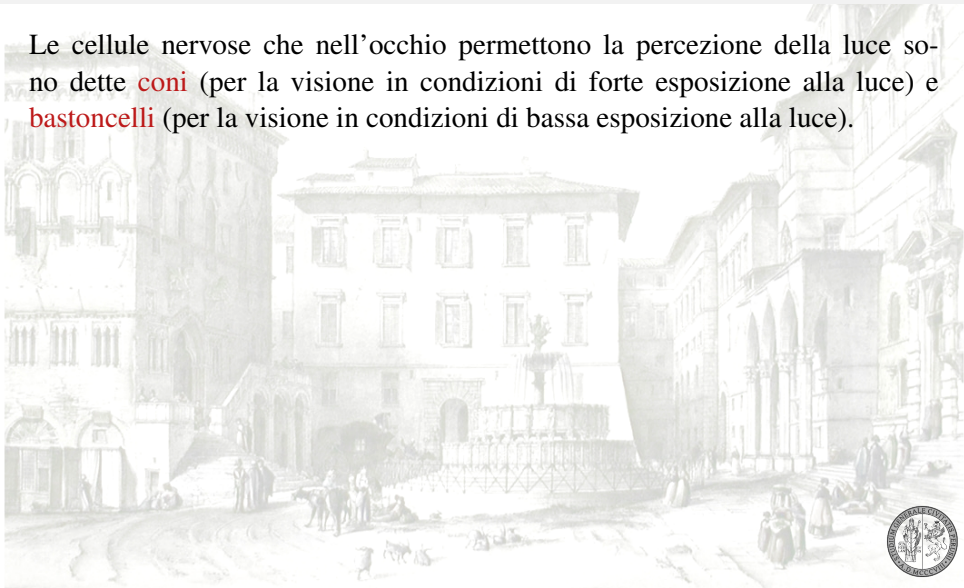


Ogni colore subisce una deviazione della propria direzione di propagazione proporzionale alla sua lunghezza d'onda.



PERCEZIONE DEI COLORI

Le cellule nervose che nell'occhio permettono la percezione della luce sono dette **coni** (per la visione in condizioni di forte esposizione alla luce) e **bastoncelli** (per la visione in condizioni di bassa esposizione alla luce).

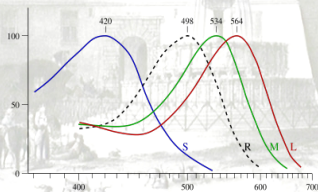


PERCEZIONE DEI COLORI

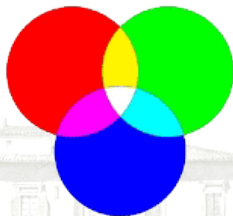
Le cellule nervose che nell'occhio permettono la percezione della luce sono dette **coni** (per la visione in condizioni di forte esposizione alla luce) e **bastoncelli** (per la visione in condizioni di bassa esposizione alla luce).

Esistono tre tipi di coni:

- il primo è più sensibile al **rosso**;
- il secondo è più sensibile al **verde**;
- il terzo è più sensibile al **blu**.



SINTESI ADDITIVA



Sintesi additiva

La percezione dei colori è data da una sintesi additiva di **rosso**, **verde** e **blu**.



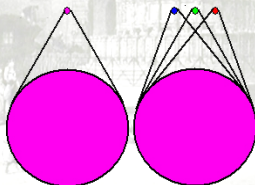
SINTESI ADDITIVA



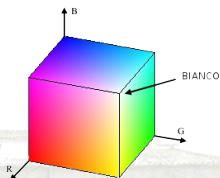
Sintesi additiva

La percezione dei colori è data da una sintesi additiva di **rosso**, **verde** e **blu**.

Esperimenti di David Wright and John Guild:



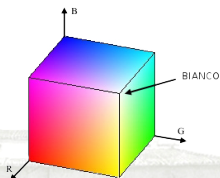
SPAZIO RGB



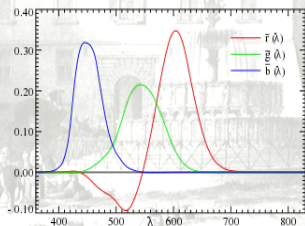
Le tre coordinate di colore possono essere disposte su tre assi ottenendo così un modello tridimensionale. L'insieme dei colori rappresentabili è detto **gamut**.



SPAZIO RGB



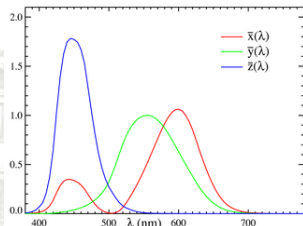
Le tre coordinate di colore possono essere disposte su tre assi ottenendo così un modello tridimensionale. L'insieme dei colori rappresentabili è detto **gamut**.



Funzione di accoppiamento dei colori



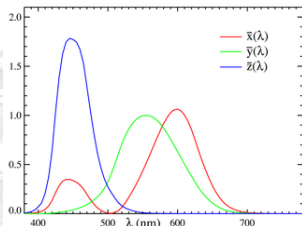
Esperimenti della CIE (Commission International d'Éclairage):



Funzione di accoppiamento dei colori



Esperimenti della CIE (Commission International d'Éclairage):

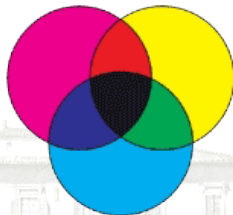


Funzione di accoppiamento dei colori

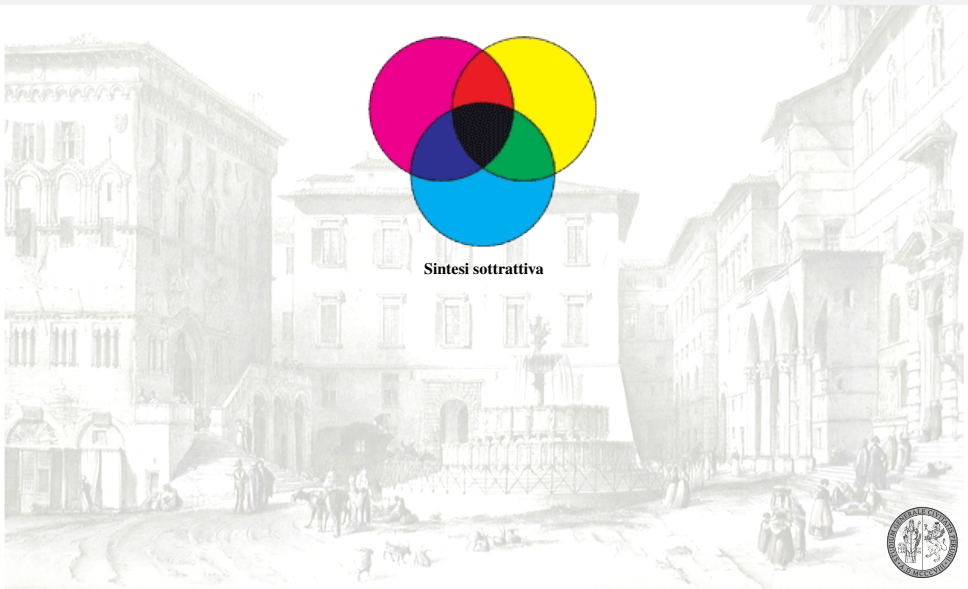
$$\begin{pmatrix} x \\ y \\ z \end{pmatrix} = \begin{pmatrix} 0.4900 & 0.3100 & 0.2000 \\ 0.1770 & 0.8124 & 0.0106 \\ 0 & 0.0100 & 0.9900 \end{pmatrix} \begin{pmatrix} r \\ g \\ b \end{pmatrix}$$



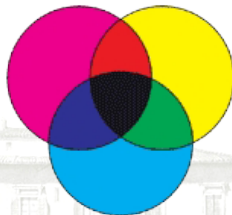
SINTESI SOTTRATTIVA



Sintesi sottrattiva

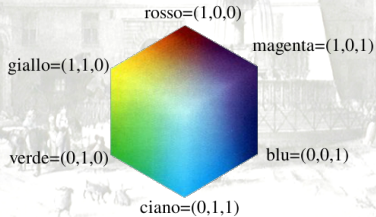


SINTESI SOTTRATTIVA



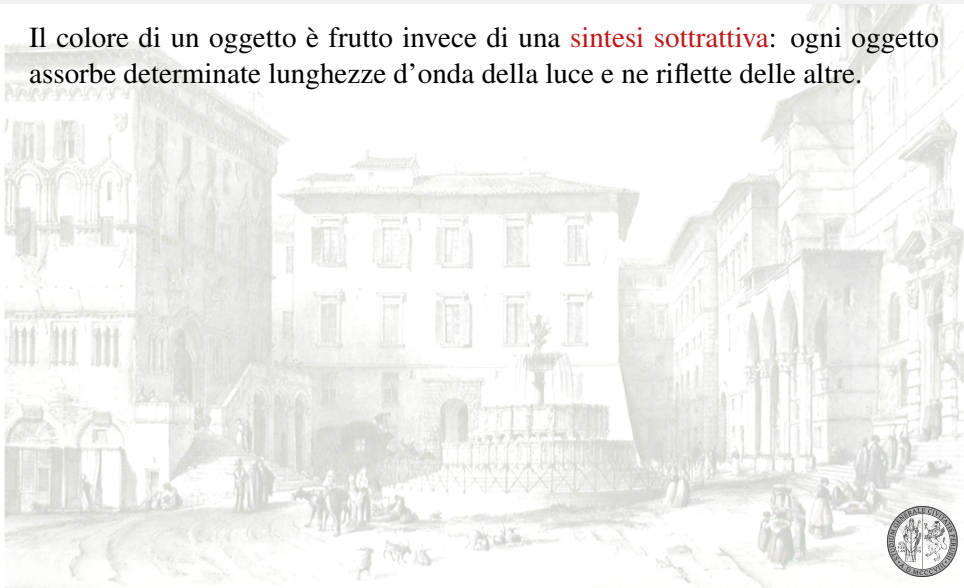
Sintesi sottrattiva

Spazio CMY:



SINTESI SOTTRATTIVA

Il colore di un oggetto è frutto invece di una **sintesi sottrattiva**: ogni oggetto assorbe determinate lunghezze d'onda della luce e ne riflette delle altre.



SINTESI SOTTRATTIVA

Il colore di un oggetto è frutto invece di una **sintesi sottrattiva**: ogni oggetto assorbe determinate lunghezze d'onda della luce e ne riflette delle altre.



La mela ci appare gialla perchè la sua buccia assorbe la radiazione blu e riflette quella rossa e quella verde.

bianco - blu = rosso + verde = giallo



SINTESI SOTTRATTIVA

Il colore di un oggetto è frutto invece di una **sintesi sottrattiva**: ogni oggetto assorbe determinate lunghezze d'onda della luce e ne riflette delle altre.



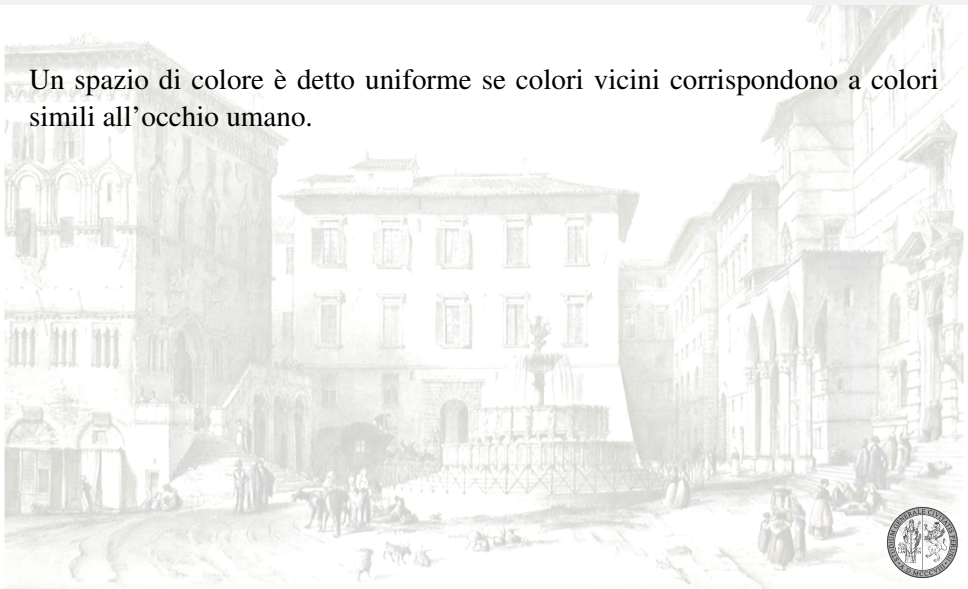
La mela ci appare rossa perchè la sua buccia assorbe la radiazione blu e la radiazione verde e riflette quella rossa.

bianco - (blu + verde) = rosso



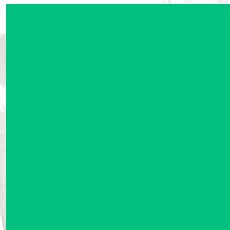
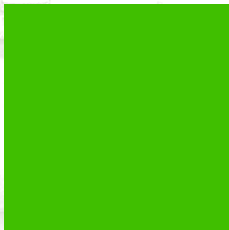
UNIFORMITÀ DI UN SPAZIO DI COLORE

Un spazio di colore è detto uniforme se colori vicini corrispondono a colori simili all'occhio umano.



UNIFORMITÀ DI UN SPAZIO DI COLORE

Un spazio di colore è detto uniforme se colori vicini corrispondono a colori simili all'occhio umano.

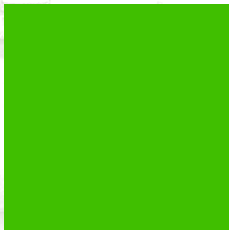


UNIFORMITÀ DI UN SPAZIO DI COLORE

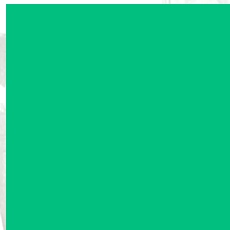
Un spazio di colore è detto uniforme se colori vicini corrispondono a colori simili all'occhio umano.



$$\begin{pmatrix} 64 \\ 64 \\ 64 \end{pmatrix}$$



$$\begin{pmatrix} 64 \\ 191 \\ 0 \end{pmatrix}$$

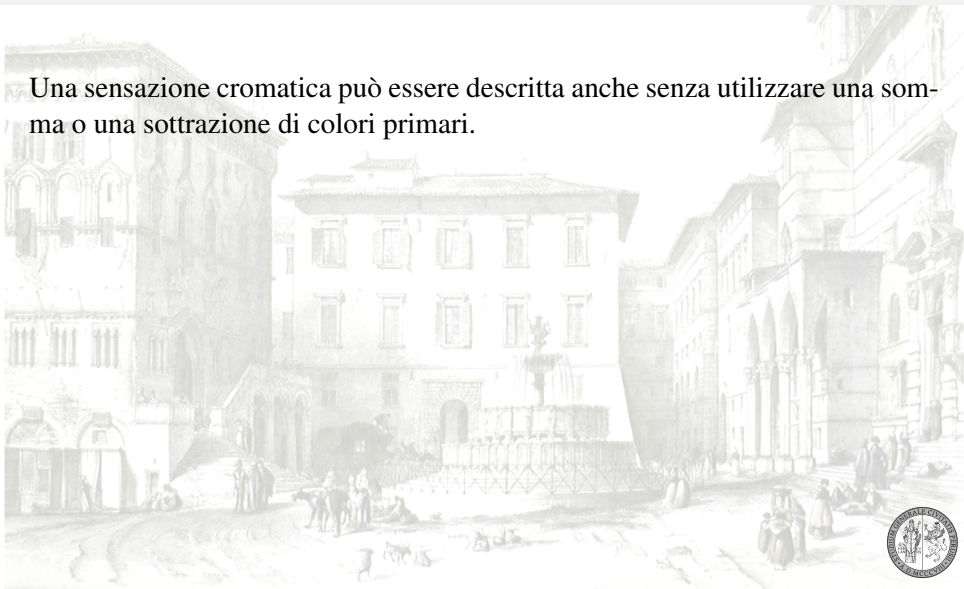


$$\begin{pmatrix} 0 \\ 191 \\ 127 \end{pmatrix}$$



CARATTERIZZAZIONE DEL COLORE

Una sensazione cromatica può essere descritta anche senza utilizzare una somma o una sottrazione di colori primari.



CARATTERIZZAZIONE DEL COLORE

Una sensazione cromatica può essere descritta anche senza utilizzare una somma o una sottrazione di colori primari.

Ogni colore è caratterizzato infatti da due fattori principali:

- 1 **luminanza**: esprime l'intensità della luce e caratterizza quindi la brillantezza dell'immagine;



CARATTERIZZAZIONE DEL COLORE

Una sensazione cromatica può essere descritta anche senza utilizzare una somma o una sottrazione di colori primari.

Ogni colore è caratterizzato infatti da due fattori principali:

- 1 **luminanza**: esprime l'intensità della luce e caratterizza quindi la brillantezza dell'immagine;
- 2 **crominanza**:
 - **tinta**: indica un colore puro, cioè caratterizzato da una singola lunghezza d'onda;



CARATTERIZZAZIONE DEL COLORE

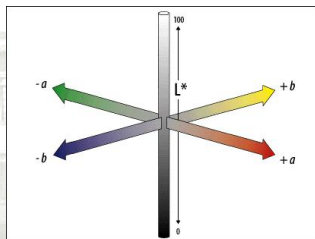
Una sensazione cromatica può essere descritta anche senza utilizzare una somma o una sottrazione di colori primari.

Ogni colore è caratterizzato infatti da due fattori principali:

- 1 **luminanza**: esprime l'intensità della luce e caratterizza quindi la brillantezza dell'immagine;
- 2 **crominanza**:
 - **tinta**: indica un colore puro, cioè caratterizzato da una singola lunghezza d'onda;
 - **saturazione**: indica la quantità di tinta rispetto al grigio acromatico.



SPAZIO L*A*B



Assi dello spazio L*a*b



MODELLIZZAZIONE DI IMMAGINI A COLORI

Sia

$$\mathbf{x} = \begin{pmatrix} \mathbf{x}^{(r)} \\ \mathbf{x}^{(g)} \\ \mathbf{x}^{(b)} \end{pmatrix} \in \mathbb{R}^{3n \cdot m},$$

un'immagine a colori dove $\mathbf{x}^{(r)}, \mathbf{x}^{(g)}, \mathbf{x}^{(b)} \in \mathbb{R}^{n \cdot m}$ sono rispettivamente il canale rosso, verde e blu in notazione lessicografica.

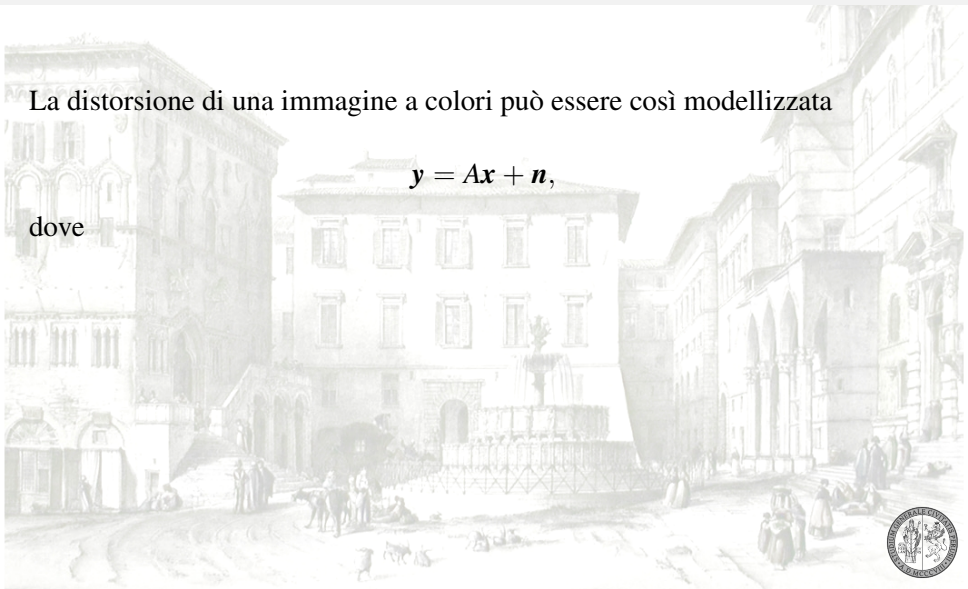


DISTORSIONE DI IMMAGINI A COLORI

La distorsione di una immagine a colori può essere così modellizzata

$$y = Ax + n,$$

dove



DISTORSIONE DI IMMAGINI A COLORI

La distorsione di una immagine a colori può essere così modellizzata

$$\mathbf{y} = \mathbf{A}\mathbf{x} + \mathbf{n},$$

dove

$\mathbf{x} \in \mathbb{R}^{3n \cdot m}$ è l'immagine a colori ideale;



DISTORSIONE DI IMMAGINI A COLORI

La distorsione di una immagine a colori può essere così modellizzata

$$\mathbf{y} = \mathbf{A}\mathbf{x} + \mathbf{n},$$

dove

$\mathbf{x} \in \mathbb{R}^{3n \cdot m}$ è l'immagine a colori ideale;

$\mathbf{n} \in \mathbb{R}^{3n \cdot m}$ è il rumore su ogni componente che viene assunto essere Gaussiano, bianco indipendente con media nulla e varianza data σ^2 ;



DISTORSIONE DI IMMAGINI A COLORI

La distorsione di una immagine a colori può essere così modellizzata

$$\mathbf{y} = \mathbf{A}\mathbf{x} + \mathbf{n},$$

dove

$\mathbf{x} \in \mathbb{R}^{3n \cdot m}$ è l'immagine a colori ideale;

$\mathbf{n} \in \mathbb{R}^{3n \cdot m}$ è il rumore su ogni componente che viene assunto essere Gaussiano, bianco indipendente con media nulla e varianza data σ^2 ;

$\mathbf{y} \in \mathbb{R}^{3n \cdot m}$ l'immagine mosaicata;



DISTORSIONE DI IMMAGINI A COLORI

La distorsione di una immagine a colori può essere così modellizzata

$$\mathbf{y} = \mathbf{A}\mathbf{x} + \mathbf{n},$$

dove

$\mathbf{x} \in \mathbb{R}^{3n \cdot m}$ è l'immagine a colori ideale;

$\mathbf{n} \in \mathbb{R}^{3n \cdot m}$ è il rumore su ogni componente che viene assunto essere Gaussiano, bianco indipendente con media nulla e varianza data σ^2 ;

$\mathbf{y} \in \mathbb{R}^{3n \cdot m}$ l'immagine mosaicata;

$\mathbf{A} \in \mathbb{R}^{(3n \cdot m) \times (3n \cdot m)}$ è un operatore lineare che è strutturato come segue:



DISTORSIONE DI IMMAGINI A COLORI

$$A = \begin{pmatrix} A_{1,1} & A_{1,2} & A_{1,3} \\ A_{2,1} & A_{2,2} & A_{2,3} \\ A_{3,1} & A_{3,2} & A_{3,3} \end{pmatrix}$$

dove $A_{i,j} \in \mathbb{R}^{(n-m) \times (n-m)}$, con $i, j = 1, 2, 3$, sono matrici di sfocatura.



DISTORSIONE DI IMMAGINI A COLORI

$$A = \begin{pmatrix} A_{1,1} & A_{1,2} & A_{1,3} \\ A_{2,1} & A_{2,2} & A_{2,3} \\ A_{3,1} & A_{3,2} & A_{3,3} \end{pmatrix}$$

dove $A_{i,j} \in \mathbb{R}^{(n \cdot m) \times (n \cdot m)}$, con $i, j = 1, 2, 3$, sono matrici di sfocatura.



Immagine ideale



DISTORSIONE DI IMMAGINI A COLORI

$$A = \begin{pmatrix} A_{1,1} & A_{1,2} & A_{1,3} \\ A_{2,1} & A_{2,2} & A_{2,3} \\ A_{3,1} & A_{3,2} & A_{3,3} \end{pmatrix}$$

dove $A_{i,j} \in \mathbb{R}^{(n-m) \times (n-m)}$, con $i, j = 1, 2, 3$, sono matrici di sfocatura.



Immagine distorta



DISTORSIONE DI IMMAGINI A COLORI

$$A = \begin{pmatrix} A_{1,1} & A_{1,2} & A_{1,3} \\ A_{2,1} & A_{2,2} & A_{2,3} \\ A_{3,1} & A_{3,2} & A_{3,3} \end{pmatrix}$$

dove $A_{i,j} \in \mathbb{R}^{(n-m) \times (n-m)}$, con $i, j = 1, 2, 3$, sono matrici di sfocatura.



Immagine ideale



DISTORSIONE DI IMMAGINI A COLORI

$$A = \begin{pmatrix} A_{1,1} & A_{1,2} & A_{1,3} \\ A_{2,1} & A_{2,2} & A_{2,3} \\ A_{3,1} & A_{3,2} & A_{3,3} \end{pmatrix}$$

dove $A_{i,j} \in \mathbb{R}^{(n-m) \times (n-m)}$, con $i, j = 1, 2, 3$, sono matrici di sfocatura.



Immagine distorta



RESTAURO DI IMMAGINI A COLORI

SOLUZIONE REGOLARIZZATA

La soluzione del problema inverso viene definita come l'argomento del minimo della seguente funzione energia duale

$$E_d(\mathbf{x}) = \|\mathbf{Ax} - \mathbf{y}\|_2^2 + \lambda_k^2 \sum_{c \in C_k} g^{(i)}(N_c^k \mathbf{x}),$$

dove $k = 1, 2, 3$



RESTAURO DI IMMAGINI A COLORI

SOLUZIONE REGOLARIZZATA

La soluzione del problema inverso viene definita come l'argomento del minimo della seguente funzione energia duale

$$E_d(\mathbf{x}) = \|\mathbf{Ax} - \mathbf{y}\|_2^2 + \lambda_k^2 \sum_{c \in C_k} g^{(i)}(N_c^k \mathbf{x}),$$

dove $k = 1, 2, 3$ e

$$N_c^k \mathbf{x} = \left\| \begin{pmatrix} D_c^k \mathbf{x}^{(r)} & D_c^k \mathbf{x}^{(g)} & D_c^k \mathbf{x}^{(g)} \end{pmatrix}^T \right\|_2.$$



RISULTATI SPERIMENTALI

Primo ordine:



Immagine osservata



RISULTATI SPERIMENTALI

Primo ordine:



Immagine ricostruita



RISULTATI SPERIMENTALI

Primo ordine:

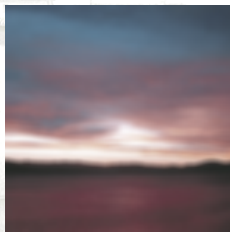


Immagine osservata



RISULTATI SPERIMENTALI

Primo ordine:

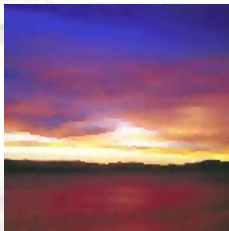


Immagine ricostruita



RISULTATI SPERIMENTALI

Primo ordine:

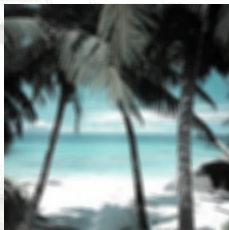


Immagine osservata



RISULTATI SPERIMENTALI

Primo ordine:



Immagine ricostruita



RISULTATI SPERIMENTALI

Secondo ordine:



Immagine osservata



RISULTATI SPERIMENTALI

Secondo ordine:



Immagine ricostruita



RISULTATI SPERIMENTALI

Secondo ordine:

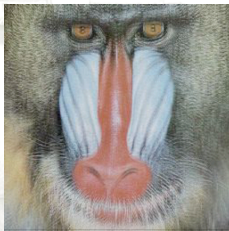


Immagine osservata



RISULTATI SPERIMENTALI

Secondo ordine:

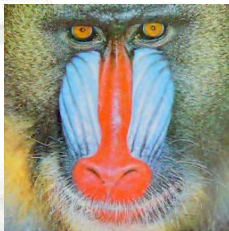


Immagine ricostruita



STIMA DEI PARAMETRI

Si stimano (λ, κ) tali che:

- 1 l'immagine ricostruita sia planare a tratti e senza tripli bordi;



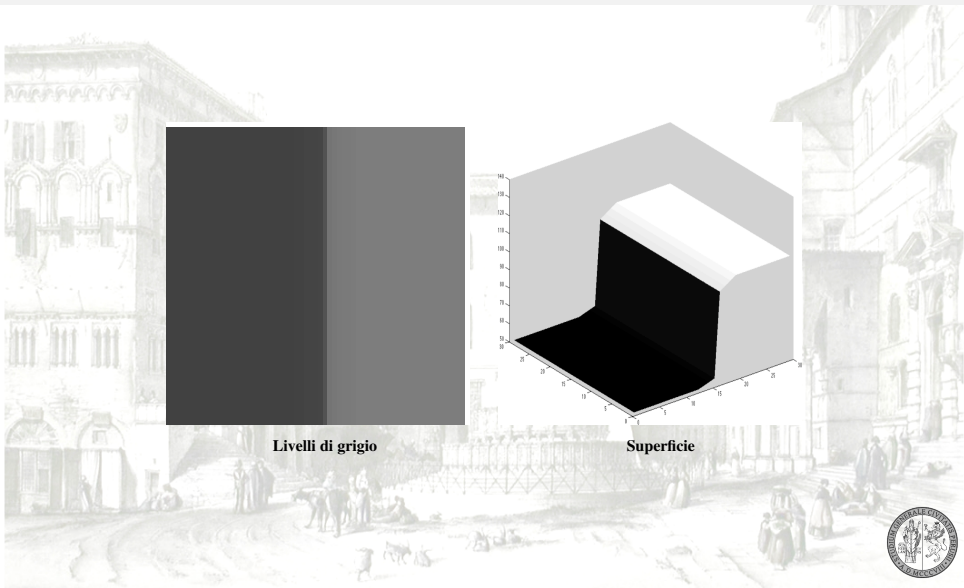
STIMA DEI PARAMETRI

Si stimano (λ, κ) tali che:

- 1 l'immagine ricostruita sia planare a tratti e senza tripli bordi;
- 2 il rumore stimato abbia una varianza pari ad una valore σ^2 fissato.



ESEMPIO 1



ESEMPIO 1

| | | | | | | | |
|----|----|----|-----------|------------|------------|-----|------|
| 50 | 51 | 52 | 53 | 100 | 102 | 104 | 106 |
| 50 | 51 | 52 | 53 | 100 | 102 | 104 | 106 |
| 50 | 51 | 52 | 53 | 100 | 102 | 104 | 106 |
| 50 | 51 | 52 | 53 | 100 | 102 | 104 | 106. |
| 50 | 51 | 52 | 53 | 100 | 102 | 104 | 106 |
| 50 | 51 | 52 | 53 | 100 | 102 | 104 | 106 |
| 50 | 51 | 52 | 53 | 100 | 102 | 104 | 106 |

$$\tau = 10$$

$$|D_c^2 \mathbf{x}| = 45 > \tau,$$



ESEMPIO 1

| | | | | | | | |
|----|----|-----------|-----------|------------|-----|-----|------|
| 50 | 51 | 52 | 53 | 100 | 102 | 104 | 106 |
| 50 | 51 | 52 | 53 | 100 | 102 | 104 | 106 |
| 50 | 51 | 52 | 53 | 100 | 102 | 104 | 106 |
| 50 | 51 | 52 | 53 | 100 | 102 | 104 | 106. |
| 50 | 51 | 52 | 53 | 100 | 102 | 104 | 106 |
| 50 | 51 | 52 | 53 | 100 | 102 | 104 | 106 |
| 50 | 51 | 52 | 53 | 100 | 102 | 104 | 106 |

$$\tau = 10$$

$$|D_c^2 \mathbf{x}| = 45 > \tau,$$

$$|D_{c-1}^2 \mathbf{x}| = 46 > \tau,$$



ESEMPIO 1

| | | | | | | | |
|----|----|----|----|------------|------------|------------|------|
| 50 | 51 | 52 | 53 | 100 | 102 | 104 | 106 |
| 50 | 51 | 52 | 53 | 100 | 102 | 104 | 106 |
| 50 | 51 | 52 | 53 | 100 | 102 | 104 | 106 |
| 50 | 51 | 52 | 53 | 100 | 102 | 104 | 106. |
| 50 | 51 | 52 | 53 | 100 | 102 | 104 | 106 |
| 50 | 51 | 52 | 53 | 100 | 102 | 104 | 106 |
| 50 | 51 | 52 | 53 | 100 | 102 | 104 | 106 |

$$\tau = 10$$

$$|D_c^2 \mathbf{x}| = 45 > \tau,$$

$$|D_{c-1}^2 \mathbf{x}| = 46 > \tau,$$

$$|D_{c+1}^2 \mathbf{x}| = 0 < \tau.$$



ESEMPIO 1

| | | | | | | | |
|----|----|----|----|------------|------------|------------|------|
| 50 | 51 | 52 | 53 | 100 | 102 | 104 | 106 |
| 50 | 51 | 52 | 53 | 100 | 102 | 104 | 106 |
| 50 | 51 | 52 | 53 | 100 | 102 | 104 | 106 |
| 50 | 51 | 52 | 53 | 100 | 102 | 104 | 106. |
| 50 | 51 | 52 | 53 | 100 | 102 | 104 | 106 |
| 50 | 51 | 52 | 53 | 100 | 102 | 104 | 106 |
| 50 | 51 | 52 | 53 | 100 | 102 | 104 | 106 |

$$\tau = 10$$

$$|D_c^2 \mathbf{x}| = 45 > \tau,$$

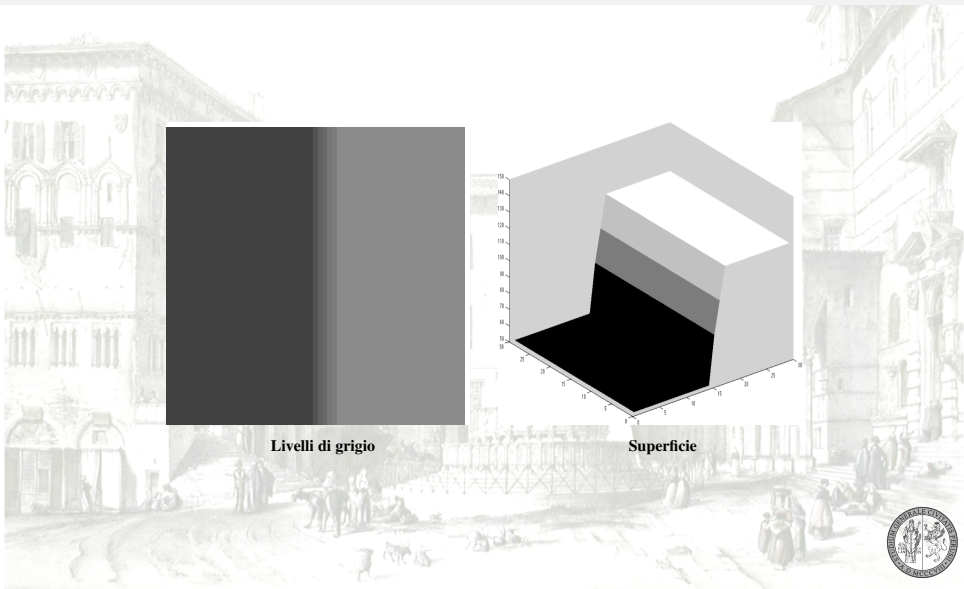
$$|D_{c-1}^2 \mathbf{x}| = 46 > \tau,$$

$$|D_{c+1}^2 \mathbf{x}| = 0 < \tau.$$

L'immagine presenta **doppi bordi** ma non **tripli bordi**.



ESEMPIO 2



Livelli di grigio

Superficie

ESEMPIO 2

| | | | | | | | |
|----|----|----|-----------|------------|------------|-----|------|
| 50 | 50 | 50 | 80 | 100 | 120 | 120 | 120 |
| 50 | 50 | 50 | 80 | 100 | 120 | 120 | 120 |
| 50 | 50 | 50 | 80 | 100 | 120 | 120 | 120 |
| 50 | 50 | 50 | 80 | 100 | 120 | 120 | 120. |
| 50 | 50 | 50 | 80 | 100 | 120 | 120 | 120 |
| 50 | 50 | 50 | 80 | 100 | 120 | 120 | 120 |
| 50 | 50 | 50 | 80 | 100 | 120 | 120 | 120 |

$$\tau = 10$$

$$|D_c^2 x| = 100 > \tau,$$



ESEMPIO 2

| | | | | | | | |
|----|----|-----------|-----------|------------|-----|-----|------|
| 50 | 50 | 50 | 80 | 100 | 120 | 120 | 120 |
| 50 | 50 | 50 | 80 | 100 | 120 | 120 | 120 |
| 50 | 50 | 50 | 80 | 100 | 120 | 120 | 120 |
| 50 | 50 | 50 | 80 | 100 | 120 | 120 | 120. |
| 50 | 50 | 50 | 80 | 100 | 120 | 120 | 120 |
| 50 | 50 | 50 | 80 | 100 | 120 | 120 | 120 |
| 50 | 50 | 50 | 80 | 100 | 120 | 120 | 120 |

$$\tau = 10$$

$$|D_c^2 \mathbf{x}| = 100 > \tau,$$

$$|D_{c-1}^2 \mathbf{x}| = 70 > \tau,$$



ESEMPIO 2

| | | | | | | | |
|----|----|----|----|------------|------------|------------|------|
| 50 | 50 | 50 | 80 | 100 | 120 | 120 | 120 |
| 50 | 50 | 50 | 80 | 100 | 120 | 120 | 120 |
| 50 | 50 | 50 | 80 | 100 | 120 | 120 | 120 |
| 50 | 50 | 50 | 80 | 100 | 120 | 120 | 120. |
| 50 | 50 | 50 | 80 | 100 | 120 | 120 | 120 |
| 50 | 50 | 50 | 80 | 100 | 120 | 120 | 120 |
| 50 | 50 | 50 | 80 | 100 | 120 | 120 | 120 |

$$\tau = 10$$

$$|D_c^2 \mathbf{x}| = 100 > \tau,$$

$$|D_{c-1}^2 \mathbf{x}| = 70 > \tau,$$

$$|D_{c+1}^2 \mathbf{x}| = 20 > \tau.$$



ESEMPIO 2

| | | | | | | | |
|----|----|----|----|------------|------------|------------|------|
| 50 | 50 | 50 | 80 | 100 | 120 | 120 | 120 |
| 50 | 50 | 50 | 80 | 100 | 120 | 120 | 120 |
| 50 | 50 | 50 | 80 | 100 | 120 | 120 | 120 |
| 50 | 50 | 50 | 80 | 100 | 120 | 120 | 120. |
| 50 | 50 | 50 | 80 | 100 | 120 | 120 | 120 |
| 50 | 50 | 50 | 80 | 100 | 120 | 120 | 120 |
| 50 | 50 | 50 | 80 | 100 | 120 | 120 | 120 |

$$\tau = 10$$

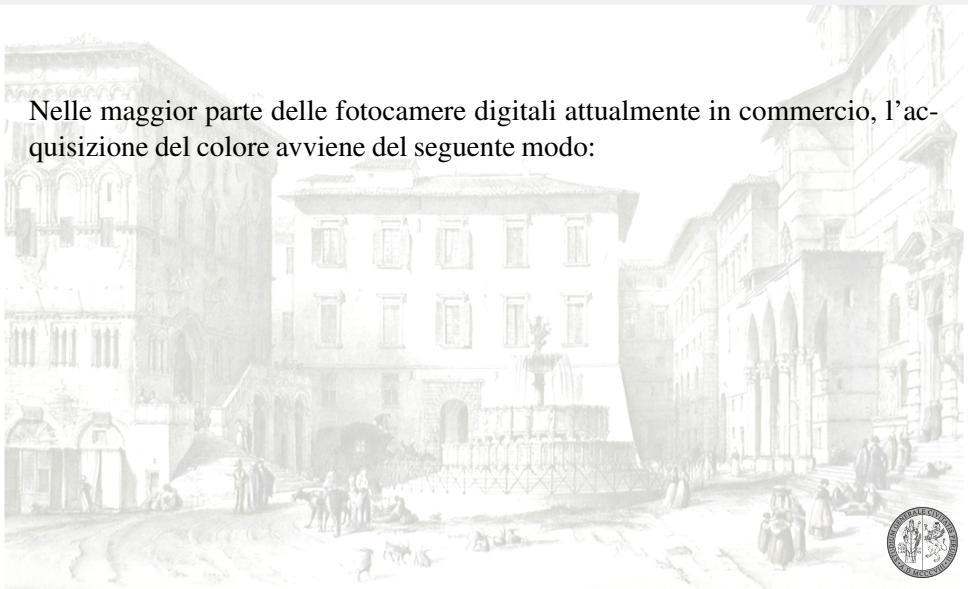
$$\begin{aligned} |D_c^2 \mathbf{x}| &= 100 > \tau, \\ |D_{c-1}^2 \mathbf{x}| &= 70 > \tau, \\ |D_{c+1}^2 \mathbf{x}| &= 20 > \tau. \end{aligned}$$

L'immagine presenta **tripli bordi**.



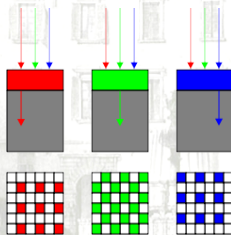
ACQUISIZIONE TRAMITE FOTOCAMERE DIGITALI

Nelle maggior parte delle fotocamere digitali attualmente in commercio, l'acquisizione del colore avviene del seguente modo:



ACQUISIZIONE TRAMITE FOTOCAMERE DIGITALI

Nelle maggior parte delle fotocamere digitali attualmente in commercio, l'acquisizione del colore avviene del seguente modo: esiste un fotodiodo per pixel, davanti ad ognuno di essi viene posizionato un filtro colorato.



PATTERN DI BAYER

La griglia di filtri più comunemente usata è quella proposta da Bayer:

| | | | | | | |
|-----------------|-----------------|-----------------|-----------------|-----------------|-----------------|-----------------|
| R ₀₀ | G ₀₁ | R ₀₂ | G ₀₃ | R ₀₄ | G ₀₅ | R ₀₆ |
| G ₁₀ | B ₁₁ | G ₁₂ | B ₁₃ | G ₁₄ | B ₁₅ | G ₁₆ |
| R ₂₀ | G ₂₁ | R ₂₂ | G ₂₃ | R ₂₄ | G ₂₅ | R ₂₆ |
| G ₃₀ | B ₃₁ | G ₃₂ | B ₃₃ | G ₃₄ | B ₃₅ | G ₃₆ |
| R ₄₀ | G ₄₁ | R ₄₂ | G ₄₃ | R ₄₄ | G ₄₅ | R ₄₆ |
| G ₅₀ | B ₅₁ | G ₅₂ | B ₅₃ | G ₅₄ | B ₅₅ | G ₅₆ |
| R ₆₀ | G ₆₁ | R ₆₂ | G ₆₃ | R ₆₄ | G ₆₅ | R ₆₆ |



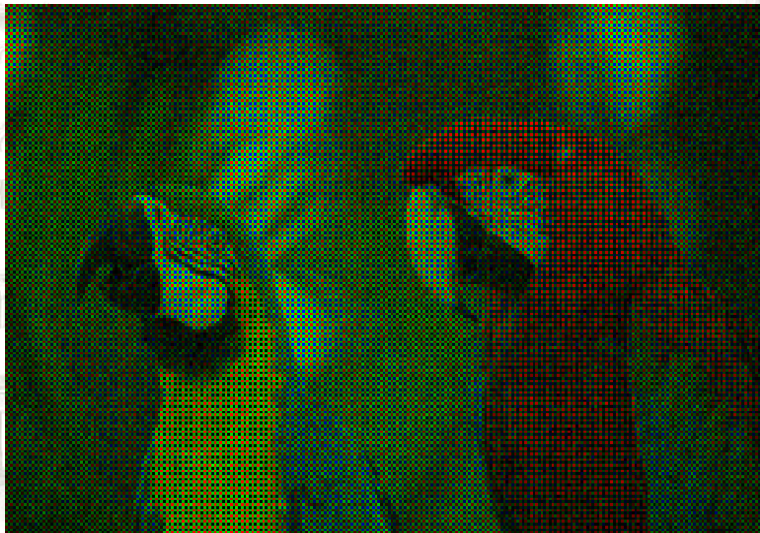
MOSAICIZZAZIONE



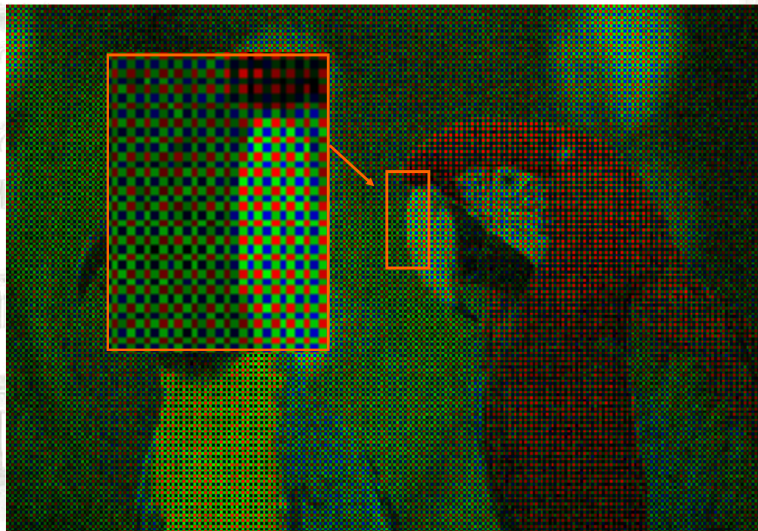
MOSAICIZZAZIONE



MOSAICIZZAZIONE



MOSAICIZZAZIONE

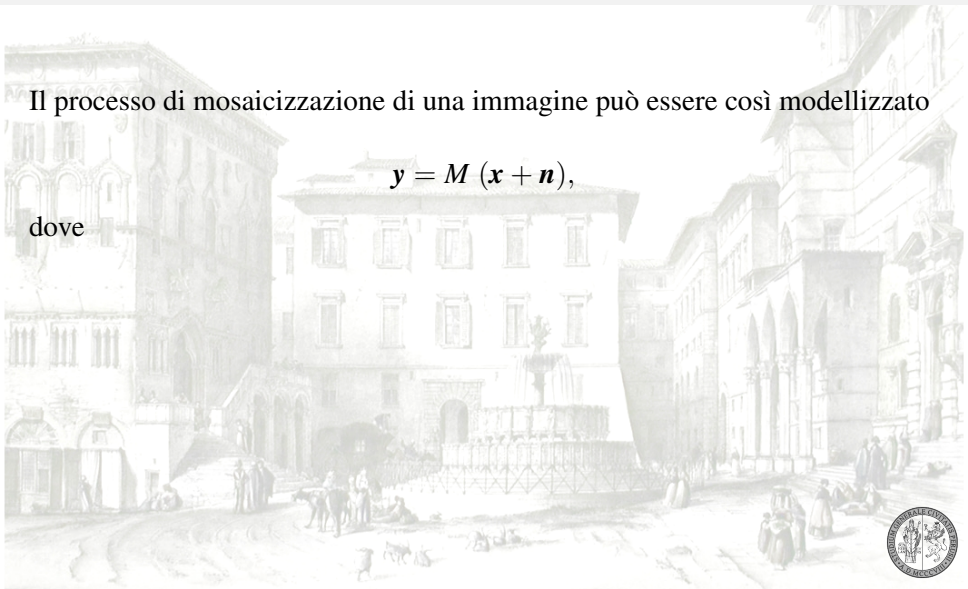


MOSAICIZZAZIONE

Il processo di mosaicizzazione di una immagine può essere così modellizzato

$$y = M(x + n),$$

dove



MOSAICIZZAZIONE

Il processo di mosaicizzazione di una immagine può essere così modellizzato

$$\mathbf{y} = M(\mathbf{x} + \mathbf{n}),$$

dove

$\mathbf{x} \in \mathbb{R}^{3n \cdot m}$ è l'immagine a colori ideale;



MOSAICIZZAZIONE

Il processo di mosaicizzazione di una immagine può essere così modellizzato

$$\mathbf{y} = M(\mathbf{x} + \mathbf{n}),$$

dove

$\mathbf{x} \in \mathbb{R}^{3n \cdot m}$ è l'immagine a colori ideale;

$\mathbf{n} \in \mathbb{R}^{3n \cdot m}$ è il rumore su ogni componente che viene assunto essere Gaussiano, bianco indipendente con media nulla e varianza data σ^2 ;



MOSAICIZZAZIONE

Il processo di mosaicizzazione di una immagine può essere così modellizzato

$$\mathbf{y} = M(\mathbf{x} + \mathbf{n}),$$

dove

$\mathbf{x} \in \mathbb{R}^{3n \cdot m}$ è l'immagine a colori ideale;

$\mathbf{n} \in \mathbb{R}^{3n \cdot m}$ è il rumore su ogni componente che viene assunto essere Gaussiano, bianco indipendente con media nulla e varianza data σ^2 ;

$\mathbf{y} \in \mathbb{R}^{3n \cdot m}$ l'immagine mosaicizzata;



MOSAICIZZAZIONE

Il processo di mosaicizzazione di una immagine può essere così modellizzato

$$\mathbf{y} = M (\mathbf{x} + \mathbf{n}),$$

dove

$\mathbf{x} \in \mathbb{R}^{3n \cdot m}$ è l'immagine a colori ideale;

$\mathbf{n} \in \mathbb{R}^{3n \cdot m}$ è il rumore su ogni componente che viene assunto essere Gaussiano, bianco indipendente con media nulla e varianza data σ^2 ;

$\mathbf{y} \in \mathbb{R}^{3n \cdot m}$ l'immagine mosaicizzata;

$M \in \mathbb{R}^{(3n \cdot m) \times (3n \cdot m)}$ è un operatore lineare che è strutturato come segue:



MOSAICIZZAZIONE

$$M = \begin{pmatrix} M^{(r)} & O & O \\ O & M^{(g)} & O \\ O & O & M^{(b)} \end{pmatrix},$$

dove $O \in \mathbb{R}^{(n \cdot m) \times (n \cdot m)}$ è la matrice nulla, $M^{(r)}$, $M^{(g)}$ e $M^{(b)}$ sono matrici diagonali con

$$m_{(i,j)(i,j)}^{(r)} = \begin{cases} 1 & i \equiv_2 j \equiv_2 0 \\ 0 & \text{altrimenti,} \end{cases}$$

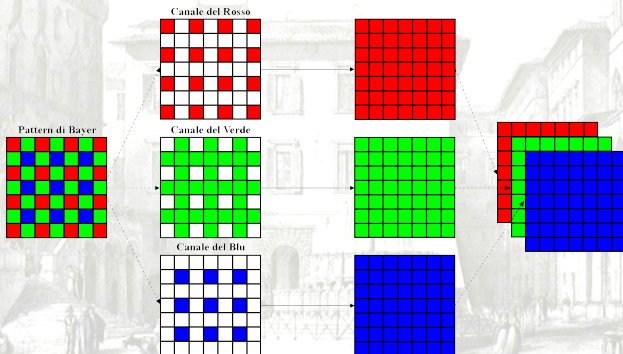
$$m_{(i,j)(i,j)}^{(g)} = \begin{cases} 1 & i \not\equiv_2 j \\ 0 & \text{altrimenti,} \end{cases}$$

$$m_{(i,j)(i,j)}^{(b)} = \begin{cases} 1 & i \equiv_2 j \equiv_2 1 \\ 0 & \text{altrimenti.} \end{cases}$$



DEMOSAICIZZAZIONE

L'operazione di interpolazione dei valori mancanti viene chiamata demosaicizzazione.



FILTRO BILINEARE

$$x_{bilin}^{(b)}(i,j) = \begin{cases} y^{(b)}(i,j) & i \equiv_2 j \equiv_2 0 \\ \frac{y^{(b)}(i,j-1) + y^{(b)}(i,j+1)}{2} & i \equiv_2 0 \ \& \ j \equiv_2 1 \\ \frac{y^{(b)}(i-1,j) + y^{(b)}(i+1,j)}{2} & i \equiv_2 1 \ \& \ j \equiv_2 0 \\ \frac{y^{(b)}(i-1,j-1) + y^{(b)}(i+1,j-1) + y^{(b)}(i-1,j+1) + y^{(b)}(i+1,j+1)}{4} & \text{altrimenti.} \end{cases}$$



FILTRO BILINEARE

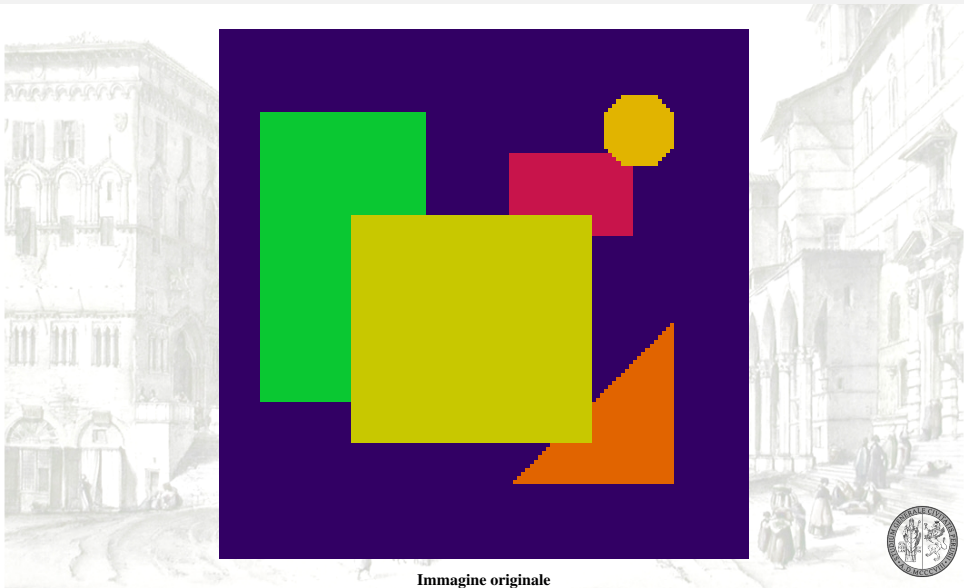


Immagine originale



FILTRO BILINEARE

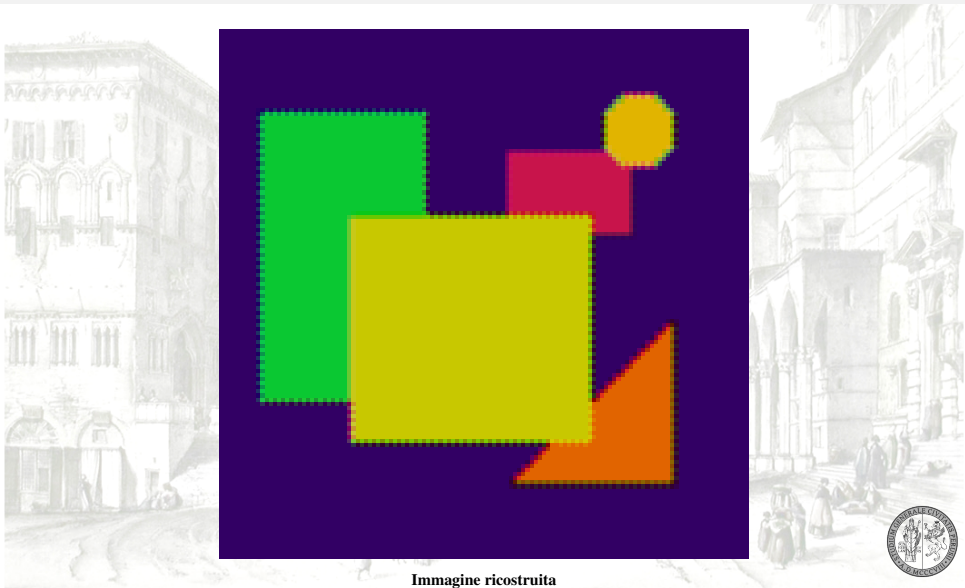


Immagine ricostruita

ALGORITMO DELLE PROIEZIONI ALTERNATE

Bahadir K. Gunturk, Yucel Altunbasak e Russell M. Mersereau (2002) utilizzano filtri bidimensionali costruiti a partire da un filtro passa-basso, $h_0 = (1 \ 2 \ 1)^T/4$, e un filtro passa-alto, $h_1 = (1 \ -2 \ 1)^T/4$, per scomporre una immagine nelle seguenti sottobande:



ALGORITMO DELLE PROIEZIONI ALTERNATE

Bahadir K. Gunturk, Yucel Altunbasak e Russell M. Mersereau (2002) utilizzano filtri bidimensionali costruiti a partire da un filtro passa-basso, $h_0 = (1 \ 2 \ 1)^T/4$, e un filtro passa-alto, $h_1 = (1 \ -2 \ 1)^T/4$, per scomporre una immagine nelle seguenti sottobande:

- 1 $F^{(1)}\mathbf{x}$, le righe sono filtrate mediate un filtro passa-basso mentre le colonne sono filtrate passa-alto;



ALGORITMO DELLE PROIEZIONI ALTERNATE

Bahadir K. Gunturk, Yucel Altunbasak e Russell M. Mersereau (2002) utilizzano filtri bidimensionali costruiti a partire da un filtro passa-basso, $h_0 = (1 \ 2 \ 1)^T/4$, e un filtro passa-alto, $h_1 = (1 \ -2 \ 1)^T/4$, per scomporre una immagine nelle seguenti sottobande:

- 1 $F^{(1)}\mathbf{x}$, le righe sono filtrate mediante un filtro passa-basso mentre le colonne sono filtrate passa-alto;
- 2 $F^{(2)}\mathbf{x}$, le righe sono filtrate mediante un filtro passa-alto mentre le colonne sono filtrate passa-basso;



ALGORITMO DELLE PROIEZIONI ALTERNATE

Bahadir K. Gunturk, Yucel Altunbasak e Russell M. Mersereau (2002) utilizzano filtri bidimensionali costruiti a partire da un filtro passa-basso, $h_0 = (1 \ 2 \ 1)^T/4$, e un filtro passa-alto, $h_1 = (1 \ -2 \ 1)^T/4$, per scomporre una immagine nelle seguenti sottobande:

- 1 $F^{(1)}\mathbf{x}$, le righe sono filtrate mediante un filtro passa-basso mentre le colonne sono filtrate passa-alto;
- 2 $F^{(2)}\mathbf{x}$, le righe sono filtrate mediante un filtro passa-alto mentre le colonne sono filtrate passa-basso;
- 3 $F^{(3)}\mathbf{x}$, sia righe che colonne sono filtrate mediante un filtro passa-alto.



ALGORITMO DELLE PROIEZIONI ALTERNATE

Gunturk et al. utilizzano due tipi vincoli:

- 1 uno relativo ai dati osservati,
- 2 l'altro basato sulla conoscenza della correlazione intercanale.



ALGORITMO DELLE PROIEZIONI ALTERNATE

Siano $\Lambda(r)$, $\Lambda(g)$ e $\Lambda(b)$ gli insiemi delle coordinate dove sono campionati rispettivamente i canali rosso, verde e blu.



ALGORITMO DELLE PROIEZIONI ALTERNATE

Siano $\Lambda^{(r)}$, $\Lambda^{(g)}$ e $\Lambda^{(b)}$ gli insiemi delle coordinate dove sono campionati rispettivamente i canali rosso, verde e blu.

L'insieme delle immagini che rispetta il **vincolo della consistenza** con i dati è dato da

$$V_c = \{x : x^{(s)}(i,j) = y^{(s)}(i,j) \quad \forall (i,j) \in \Lambda^{(s)}, s = r, g, b\}.$$



ALGORITMO DELLE PROIEZIONI ALTERNATE

L'insieme delle immagini che rispetta i **vincoli di dettaglio** è dato da

$$V_d = \left\{ x : |(F^{(k)}\mathbf{x}^{(s)})(i,j) - (F^{(k)}\mathbf{x}^{(g)})(i,j)| \leq \tau \forall (i,j) \text{ per } k = 1, 2, 3 \text{ e } s = r, b \right\}$$

dove τ è la soglia positiva.



ALGORITMO DELLE PROIEZIONI ALTERNATE

L'insieme delle immagini che rispetta i **vincoli di dettaglio** è dato da

$$V_d = \left\{ x : |(F^{(k)}x^{(s)})(i,j) - (F^{(k)}x^{(g)})(i,j)| \leq \tau \forall (i,j) \text{ per } k = 1, 2, 3 \text{ e } s = r, b \right\}$$

dove τ è la soglia positiva.

ALGORITMO

L'algoritmo delle proiezioni alternate è dato dalla proiezione alternata della stima x nei due insiemi V_c e V_d fino a convergenza della soluzione.



METODI DEI MINIMI QUADRATI TOTALI

Kiego Hirakawa e Thomas W. Parks (2006) propongono di determinare un filtro che si tale che utilizzato per determinare dei dati esistenti dia il risultato corretto.



METODI DEI MINIMI QUADRATI TOTALI

Kiego Hirakawa e Thomas W. Parks (2006) propongono di determinare un filtro che si tale che utilizzato per determinare dei dati esistenti dia il risultato corretto.

Questo può essere fatto tramite un **metodo dei minimi quadrati** dove i vettori di base sono composti da sottocampionamenti dei dati $\{y_1, \dots, y_m\}$.



METODI DEI MINIMI QUADRATI TOTALI

Kiego Hirakawa e Thomas W. Parks (2006) propongono di determinare un filtro che si tale che utilizzato per determinare dei dati esistenti dia il risultato corretto.

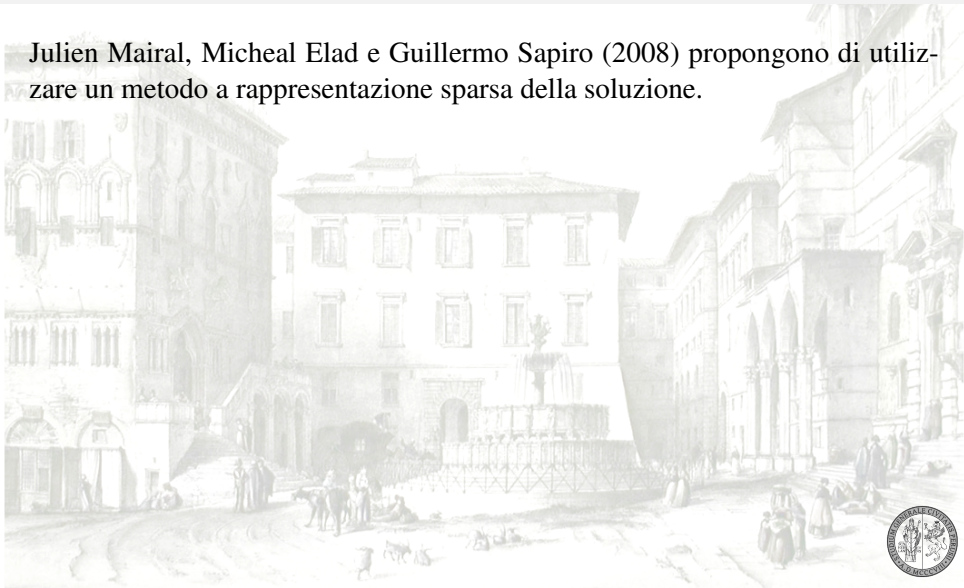
Questo può essere fatto tramite un **metodo dei minimi quadrati** dove i vettori di base sono composti da sottocampionamenti dei dati $\{y_1, \dots, y_m\}$.

Hirakawa e Parks propongono invece di utilizzare un **metodo dei minimi quadrati totali** capace di gestire errori presenti anche sui vettori di base.



RAPPRESENTAZIONE SPARSA DELLA SOLUZIONE

Julien Mairal, Micheal Elad e Guillermo Sapiro (2008) propongono di utilizzare un metodo a rappresentazione sparsa della soluzione.



RAPPRESENTAZIONE SPARSA DELLA SOLUZIONE

Julien Mairal, Micheal Elad e Guillermo Sapiro (2008) propongono di utilizzare un metodo a rappresentazione sparsa della soluzione.

In particolare la soluzione viene definita come il minimo della seguente funzione energia

$$E_s(\mathbf{x}, \mathbf{v}, D) = \|M(\mathbf{x} - \mathbf{y})\| + \sum_{i,j} \lambda_{i,j}^2 \|\mathbf{v}_{i,j}\|_0 + \sum_{i,j} \lambda_0^2 \|D\mathbf{v}_{i,j} - R_{i,j}\mathbf{x}\|_2^2,$$



RAPPRESENTAZIONE SPARSA DELLA SOLUZIONE

Julien Mairal, Micheal Elad e Guillermo Sapiro (2008) propongono di utilizzare un metodo a rappresentazione sparsa della soluzione.

In particolare la soluzione viene definita come il minimo della seguente funzione energia

$$E_s(\mathbf{x}, \mathbf{v}, D) = \|M(\mathbf{x} - \mathbf{y})\| + \sum_{i,j} \lambda_{i,j}^2 \|\mathbf{v}_{i,j}\|_0 + \sum_{i,j} \lambda_0^2 \|D\mathbf{v}_{i,j} - R_{i,j}\mathbf{x}\|_2^2,$$

dove

$D \in \mathbb{R}^{3t \times h}$ è il **dizionario**;



RAPPRESENTAZIONE SPARSA DELLA SOLUZIONE

Julien Mairal, Micheal Elad e Guillermo Sapiro (2008) propongono di utilizzare un metodo a rappresentazione sparsa della soluzione.

In particolare la soluzione viene definita come il minimo della seguente funzione energia

$$E_s(\mathbf{x}, \mathbf{v}, D) = \|M(\mathbf{x} - \mathbf{y})\| + \sum_{i,j} \lambda_{i,j}^2 \|\mathbf{v}_{i,j}\|_0 + \sum_{i,j} \lambda_0^2 \|D\mathbf{v}_{i,j} - R_{i,j}\mathbf{x}\|_2^2,$$

dove

$D \in \mathbb{R}^{3t \times h}$ è il **dizionario**;

$\mathbf{v}_{i,j} \in \mathbb{R}^h$ sono i coefficienti lineari della rappresentazione della sottoimmagine che inizia dal pixel (i, j) ;



RAPPRESENTAZIONE SPARSA DELLA SOLUZIONE

Julien Mairal, Micheal Elad e Guillermo Sapiro (2008) propongono di utilizzare un metodo a rappresentazione sparsa della soluzione.

In particolare la soluzione viene definita come il minimo della seguente funzione energia

$$E_s(\mathbf{x}, \mathbf{v}, D) = \|M(\mathbf{x} - \mathbf{y})\| + \sum_{i,j} \lambda_{i,j}^2 \|\mathbf{v}_{i,j}\|_0 + \sum_{i,j} \lambda_0^2 \|D\mathbf{v}_{i,j} - R_{i,j}\mathbf{x}\|_2^2,$$

dove

$D \in \mathbb{R}^{3t \times h}$ è il **dizionario**;

$\mathbf{v}_{i,j} \in \mathbb{R}^h$ sono i coefficienti lineari della rappresentazione della sottoimmagine che inizia dal pixel (i, j) ;

$R_{i,j} \in \{0, 1\}^{3t \times 3(n-m)}$ è l'operatore di proiezione nella sottoimmagine che inizia dal pixel (i, j) .



VINCOLO SULLE DERIVATE



VINCOLO SULLE DERIVATE



VINCOLO SULLE DERIVATE

Operatore usato

$$V_c^k \mathbf{x} = \left\| \left(D_c^k \mathbf{x}^{(r)} - D_c^k \mathbf{x}^{(g)} \quad D_c^k \mathbf{x}^{(r)} - D_c^k \mathbf{x}^{(b)} \quad D_c^k \mathbf{x}^{(g)} - D_c^k \mathbf{x}^{(b)} \right)^T \right\|,$$

con $k = 1, 2, 3$.



METODO PROPOSTO

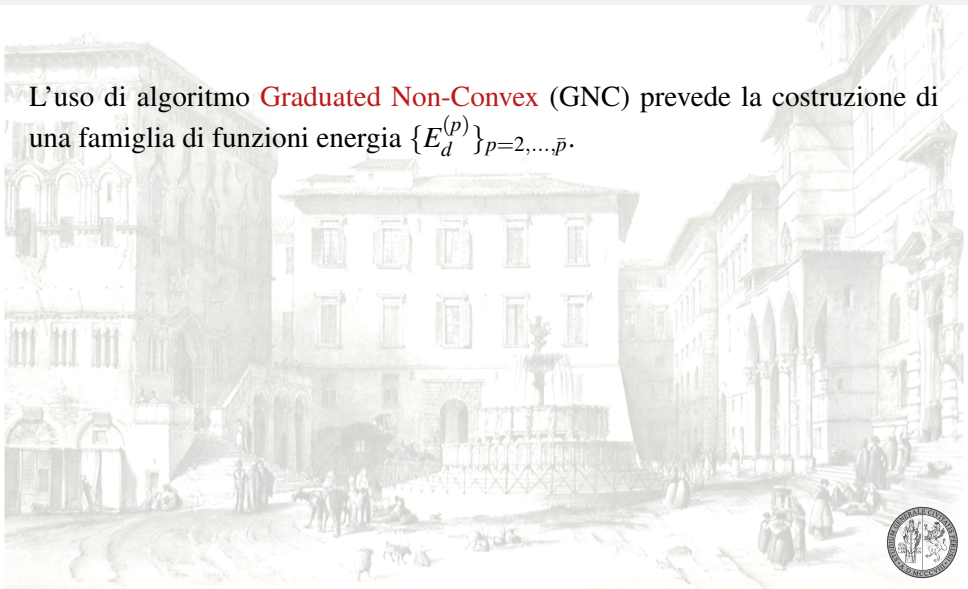
Viene minimizzata la seguente funzione energia

$$E_d(\mathbf{x}) = \|M(\mathbf{x} - \mathbf{y})\|_2^2 + \sum_{k=1}^3 \lambda_k^2 \sum_{c \in C_k} g^{(i)}(N_c^k \mathbf{x}) + \sum_{k=1}^3 \bar{\lambda}_k^2 \sum_{c \in C_k} g^{(i)}(V_c^k \mathbf{x}).$$



ALGORITMO GNC

L'uso di algoritmo **Graduated Non-Convex** (GNC) prevede la costruzione di una famiglia di funzioni energia $\{E_d^{(p)}\}_{p=2,\dots,\bar{p}}$.



ALGORITMO GNC

L'uso di algoritmo **Graduated Non-Convex** (GNC) prevede la costruzione di una famiglia di funzioni energia $\{E_d^{(p)}\}_{p=2,\dots,\bar{p}}$.

La funzione energia $E_d^{(0)}$ corrisponde all'uso di variabili di linea booleane.

A a
A a

Una scelta $\bar{p} > 0$ permette avere un effetto di **anti-aliasing** sulle discontinuità.



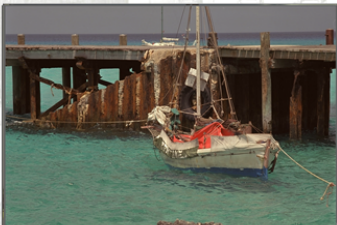
INSIEME CAMPIONE DELLA KODAK



INSIEME CAMPIONE DELLA KODAK



INSIEME CAMPIONE DELLA KODAK



INSIEME CAMPIONE DELLA KODAK



INSIEME CAMPIONE DELLA KODAK



INSIEME CAMPIONE DELLA KODAK



IMMAGINE REALE



RISULTATO



RISULTATO CON RUMORE ($\sigma = 8$)



RISULTATO CON RUMORE ($\sigma = 16$)



RISULTATI SPERIMENTALI

Immagine

01
02
03
04
05
06
07
08
09
10
11
12
13
14
15
16
17
18
19
20
21
22
23
24



RISULTATI SPERIMENTALI

| Immagine | Bilineare |
|----------|------------|
| 01 | 157.106018 |
| 02 | 30.685131 |
| 03 | 23.592515 |
| 04 | 28.136531 |
| 05 | 145.381528 |
| 06 | 110.227843 |
| 07 | 31.228872 |
| 08 | 286.249229 |
| 09 | 37.85389 |
| 10 | 37.739314 |
| 11 | 77.673620 |
| 12 | 32.62827 |
| 13 | 261.113462 |
| 14 | 77.388559 |
| 15 | 44.393178 |
| 16 | 47.682909 |
| 17 | 40.551081 |
| 18 | 102.702519 |
| 19 | 101.627409 |
| 20 | 44.685173 |
| 21 | 91.405136 |
| 22 | 58.038699 |
| 23 | 21.313678 |
| 24 | 139.0826 |



RISULTATI SPERIMENTALI

| Immagine | Bilineare | Gunturk |
|----------|------------|---------|
| 01 | 157.106018 | 11.0390 |
| 02 | 30.685131 | 7.8127 |
| 03 | 23.592515 | 4.6355 |
| 04 | 28.136531 | 6.5894 |
| 05 | 145.381528 | 11.4887 |
| 06 | 110.227843 | 10.6874 |
| 07 | 31.228872 | 4.5422 |
| 08 | 286.249229 | 19.9887 |
| 09 | 37.85389 | 4.3044 |
| 10 | 37.739314 | 4.3415 |
| 11 | 77.673620 | 7.5903 |
| 12 | 32.62827 | 4.7973 |
| 13 | 261.113462 | 24.3807 |
| 14 | 77.388559 | 16.4151 |
| 15 | 44.393178 | 8.7229 |
| 16 | 47.682909 | 4.2336 |
| 17 | 40.551081 | 4.8974 |
| 18 | 102.702519 | 13.2394 |
| 19 | 101.627409 | 6.8327 |
| 20 | 44.685173 | 5.7976 |
| 21 | 91.405136 | 8.3682 |
| 22 | 58.038699 | 10.3306 |
| 23 | 21.313678 | 4.0680 |
| 24 | 139.0826 | 22.8398 |



RISULTATI SPERIMENTALI

| Immagine | Bilineare | Gunturk | Hirakawa |
|----------|------------|---------|------------------------|
| 01 | 157.106018 | 11.0390 | 11644 |
| 02 | 30.685131 | 7.8127 | 14482 |
| 03 | 23.592515 | 4.6355 | 158.0610 |
| 04 | 28.136531 | 6.5894 | 34.5066 |
| 05 | 145.381528 | 11.4887 | 3344.4 |
| 06 | 110.227843 | 10.6874 | 66.3163 |
| 07 | 31.228872 | 4.5422 | 18.6491 |
| 08 | 286.249229 | 19.9887 | 461.5054 |
| 09 | 37.85389 | 4.3044 | 23.8019 |
| 10 | 37.739314 | 4.3415 | 35.1371 |
| 11 | 77.673620 | 7.5903 | 74.0938 |
| 12 | 32.62827 | 4.7973 | 60.2488 |
| 13 | 261.113462 | 24.3807 | 101.3877 |
| 14 | 77.388559 | 16.4151 | 51.7379 |
| 15 | 44.393178 | 8.7229 | $1.3699 \cdot 10^{22}$ |
| 16 | 47.682909 | 4.2336 | 38.2178 |
| 17 | 40.551081 | 4.8974 | 20.1011 |
| 18 | 102.702519 | 13.2394 | 48.6763 |
| 19 | 101.627409 | 6.8327 | 40.9361 |
| 20 | 44.685173 | 5.7976 | 999.0677 |
| 21 | 91.405136 | 8.3682 | 70.2223 |
| 22 | 58.038699 | 10.3306 | 7989.6 |
| 23 | 21.313678 | 4.0680 | 11.0043 |
| 24 | 139.0826 | 22.8398 | 45.3241 |



RISULTATI SPERIMENTALI

| | Immagine | Bilineare | Gunturk | Hirakawa | Mairal |
|----|----------|------------|---------|------------------------|----------------|
| 01 | | 157.106018 | 11.0390 | 11644 | 7.5176 |
| 02 | | 30.685131 | 7.8127 | 14482 | 5.5218 |
| 03 | | 23.592515 | 4.6355 | 158.0610 | 3.1195 |
| 04 | | 28.136531 | 6.5894 | 34.5066 | 4.8315 |
| 05 | | 145.381528 | 11.4887 | 3344.4 | 8.7716 |
| 06 | | 110.227843 | 10.6874 | 66.3163 | 6.4281 |
| 07 | | 31.228872 | 4.5422 | 18.6491 | 3.38 |
| 08 | | 286.249229 | 19.9887 | 461.5054 | 14.82 |
| 09 | | 37.85389 | 4.3044 | 23.8019 | 3.0555 |
| 10 | | 37.739314 | 4.3415 | 35.1371 | 3.4920 |
| 11 | | 77.673620 | 7.5903 | 74.0938 | 6.1813 |
| 12 | | 32.62827 | 4.7973 | 60.2488 | 2.8846 |
| 13 | | 261.113462 | 24.3807 | 101.3877 | 19.2345 |
| 14 | | 77.388559 | 16.4151 | 51.7379 | 10.4251 |
| 15 | | 44.393178 | 8.7229 | $1.3699 \cdot 10^{22}$ | 6.1956 |
| 16 | | 47.682909 | 4.2336 | 38.2178 | 2.8254 |
| 17 | | 40.551081 | 4.8974 | 20.1011 | 4.0934 |
| 18 | | 102.702519 | 13.2394 | 48.6763 | 11.6434 |
| 19 | | 101.627409 | 6.8327 | 40.9361 | 4.8538 |
| 20 | | 44.685173 | 5.7976 | 999.0677 | 5.1651 |
| 21 | | 91.405136 | 8.3682 | 70.2223 | 6.9037 |
| 22 | | 58.038699 | 10.3306 | 7989.6 | 8.4349 |
| 23 | | 21.313678 | 4.0680 | 11.0043 | 3.7332 |
| 24 | | 139.0826 | 22.8398 | 45.3241 | 17.7861 |



RISULTATI SPERIMENTALI

| Immagine | Bilineare | Gunturk | Hirakawa | Mairal | Regularizzazione |
|----------|------------|---------|------------------------|----------------|------------------|
| 01 | 157.106018 | 11.0390 | 11644 | 7.5176 | 5.4548 |
| 02 | 30.685131 | 7.8127 | 14482 | 5.5218 | 5.2138 |
| 03 | 23.592515 | 4.6355 | 158.0610 | 3.1195 | 2.9665 |
| 04 | 28.136531 | 6.5894 | 34.5066 | 4.8315 | 4.1597 |
| 05 | 145.381528 | 11.4887 | 3344.4 | 8.7716 | 8.1094 |
| 06 | 110.227843 | 10.6874 | 66.3163 | 6.4281 | 6.0692 |
| 07 | 31.228872 | 4.5422 | 18.6491 | 3.38 | 2.7626 |
| 08 | 286.249229 | 19.9887 | 461.5054 | 14.82 | 12.059 |
| 09 | 37.85389 | 4.3044 | 23.8019 | 3.0555 | 2.9818 |
| 10 | 37.739314 | 4.3415 | 35.1371 | 3.4920 | 3.4105 |
| 11 | 77.673620 | 7.5903 | 74.0938 | 6.1813 | 5.6544 |
| 12 | 32.62827 | 4.7973 | 60.2488 | 2.8846 | 2.3051 |
| 13 | 261.113462 | 24.3807 | 101.3877 | 19.2345 | 15.0997 |
| 14 | 77.388559 | 16.4151 | 51.7379 | 10.4251 | 9.4770 |
| 15 | 44.393178 | 8.7229 | $1.3699 \cdot 10^{22}$ | 6.1956 | 5.8636 |
| 16 | 47.682909 | 4.2336 | 38.2178 | 2.8254 | 2.6824 |
| 17 | 40.551081 | 4.8974 | 20.1011 | 4.0934 | 4.4585 |
| 18 | 102.702519 | 13.2394 | 48.6763 | 11.6434 | 11.4875 |
| 19 | 101.627409 | 6.8327 | 40.9361 | 4.8538 | 4.9374 |
| 20 | 44.685173 | 5.7976 | 999.0677 | 5.1651 | 4.4028 |
| 21 | 91.405136 | 8.3682 | 70.2223 | 6.9037 | 6.0699 |
| 22 | 58.038699 | 10.3306 | 7989.6 | 8.4349 | 9.0257 |
| 23 | 21.313678 | 4.0680 | 11.0043 | 3.7332 | 2.5948 |
| 24 | 139.0826 | 22.8398 | 45.3241 | 17.7861 | 21.1364 |



RISULTATI SPERIMENTALI CON RUMORE $\sigma = 8$

| Immagine | Bilineare | Gunturk | Hirakawa | Regolarizzazione |
|----------|-----------|----------|----------|------------------|
| 01 | 192.0752 | 70.1323 | 1900.2 | 56.4352 |
| 02 | 65.8024 | 66.3323 | 97.2100 | 30.1425 |
| 03 | 58.8424 | 62.5676 | 79.1727 | 24.5673 |
| 04 | 63.0044 | 65.1244 | 92.5160 | 28.9303 |
| 05 | 175.2133 | 69.136 | 133.6806 | 49.3065 |
| 06 | 146.8450 | 66.6520 | 111.0670 | 45.4179 |
| 07 | 65.5241 | 62.9707 | 93.7552 | 24.4626 |
| 08 | 315.2942 | 77.3570 | 424.2114 | 59.8981 |
| 09 | 72.7290 | 63.1827 | 84.1960 | 25.9646 |
| 10 | 72.5008 | 62.8351 | 85.2882 | 26.2809 |
| 11 | 112.7873 | 65.9030 | 105.6042 | 38.5765 |
| 12 | 67.7498 | 61.8407 | 83.0594 | 26.5836 |
| 13 | 301.3486 | 81.2425 | 180.0687 | 76.0216 |
| 14 | 111.8682 | 75.0172 | 122.9026 | 53.0372 |
| 15 | 77.8791 | 62.8039 | 89.9631 | 29.8338 |
| 16 | 84.5402 | 63.5739 | 88.0577 | 33.3221 |
| 17 | 75.2069 | 61.8072 | 87.5196 | 27.6590 |
| 18 | 137.7670 | 70.2534 | 119.6165 | 46.5700 |
| 19 | 135.6519 | 65.6939 | 118.9659 | 37.2511 |
| 20 | 75.2994 | 52.8946 | 71.1301 | 28.4170 |
| 21 | 127.6865 | 66.6655 | 114.1499 | 38.9636 |
| 22 | 92.8301 | 69.1720 | 108.6866 | 40.0437 |
| 23 | 55.6508 | 62.18887 | 74.9557 | 20.4881 |
| 24 | 51.2720 | 59.2745 | 65.7436 | 35.7430 |



RISULTATI SPERIMENTALI CON RUMORE $\sigma = 16$

| Immagine | Bilineare | Gunturk | Hirakawa | Regolarizzazione |
|----------|-----------|----------|----------|--------------------|
| 01 | 298.8264 | 244.7998 | 378.1123 | 133.032329 |
| 02 | 168.7641 | 230.5891 | 287.1973 | 84.434205 |
| 03 | 164.2436 | 232.2068 | 268.4808 | 85.083996 |
| 04 | 169.3755 | 237.0157 | 291.9594 | 84.095716 |
| 05 | 278.9205 | 235.0724 | 337.6051 | 118.961080 |
| 06 | 253.6741 | 235.8739 | 319.4615 | 115.236951 |
| 07 | 171.6520 | 234.5919 | 292.6410 | 81.698239 |
| 08 | 420.8498 | 248.5575 | 393.8394 | 152.198485 |
| 09 | 180.2516 | 238.3319 | 280.1942 | 84.759654 |
| 10 | 179.7413 | 237.1296 | 337.6051 | 83.891951 |
| 11 | 216.0796 | 233.2751 | 305.8112 | 100.336501 |
| 12 | 175.6196 | 234.1371 | 275.9865 | 83.076485 |
| 13 | 407.6366 | 251.5452 | 411.0613 | 164.666885 |
| 14 | 217.0885 | 244.5391 | 329.1412 | 110.555375 |
| 15 | 177.4617 | 216.0313 | 262.7383 | 82.726121 |
| 16 | 191.3162 | 238.3198 | 294.8009 | 94.495262 |
| 17 | 174.9292 | 221.4700 | 271.4415 | 81.050326 |
| 18 | 241.9690 | 236.6171 | 324.9663 | 110.712711 |
| 19 | 241.6391 | 238.6308 | 330.8231 | 103.511232 |
| 20 | 163.5093 | 185.7633 | 215.1850 | 79.921001 |
| 21 | 234.5010 | 240.2246 | 310.8051 | 105.566970 |
| 22 | 199.3652 | 242.6700 | 314.4196 | 98.97431833 |
| 23 | 160.7420 | 232.2523 | 261.0277 | 75.071598 |
| 24 | 130.3922 | 193.4792 | 183.4291 | 66.2115 |





***GRAZIE PER
L'ATTENZIONE***

